

06
© 1992 г.

ПАРАМЕТРЫ ФОТОПРЕОБРАЗОВАТЕЛЕЙ НА ОСНОВЕ ПЛЕНОК АМОРФНОГО ГИДРИРОВАННОГО КРЕМНИЯ, ПОЛУЧЕННОГО В ТЕТРОДНОЙ СИСТЕМЕ

М. М. Мездрогина, О. А. Голикова, М. М. Казанин, Г. Юшка, К. Арлаускас,
У. С. Бабаходжаев, Р. Г. Икрамов.

Рассмотрено влияние параметров собственного слоя на величины тока короткого замыкания, напряжение разомкнутой цепи в ФЭП на основе пленок аморфного гидрированного кремния. Слои были получены в тетродной системе нанесения, отличающейся от обычно применяемой диодной системы наличием двух дополнительных электродов-сеток. Показано, что в отличие от диодной системы увеличение энергии активации электропроводности слоя собственной проводимости до 0.85–0.88 эВ приводит к увеличению тока короткого замыкания. Дальнейшее увеличение энергии активации до 1.0–1.1 эВ приводит к уменьшению тока короткого замыкания. Напряжение разомкнутой цепи увеличивается плавно при увеличении энергии активации. Введение примесей (фосфора, кислорода, бора, углерода) приводит к изменению параметров ФЭП.

В настоящее время эффективность фотопреобразователей (ФЭП) на основе пленок гидрированного кремния (*a*-Si:H) достигает 10–12% [1]. Столь значительное увеличение эффективности ФЭП данного типа объясняется прежде всего прогрессом в технологии получения собственного слоя, легированных слоев *a*-Si:H, совершенствованием конструкции ФЭП. Имеется целый ряд работ, посвященных исследованию влияния параметров собственного слоя *a*-Si:H (фото- и темновой проводимости σ_ϕ , σ_t) [2], подлегирования бором [3], свойств легированных слоев на параметры ФЭП [4, 5].

Однако вопросы выбора оптимальных параметров собственного слоя, способа нанесения легированных слоев, а также создания границ перехода между слоями все еще остаются нерешенными. Также нерешенным остается вопрос о влиянии примесей в собственном слое — бора, фосфора, углерода, кислорода на параметры ФЭП.

Ранее в работе [6, 7] было показано, что широкое варьирование технологических режимов при использовании диодной емкостной системы ВЧ разложения силаносодержащих газовых смесей приводит к изменению параметров собственного слоя σ_ϕ , σ_t , энергии активации темновой проводимости ΔE_σ , плотности состояний на уровне Ферми N_s , а также параметров ФЭП тока короткого замыкания — J_{k3} , напряжения открытой цепи U_{xx} , фактора заполнения FF . Показано, что уменьшение ΔE_σ в *a*-Si:H приводит к увеличению J_{k3} , FF и уменьшению U_{xx} . Из измерений темновых ВАХ на структурах с барьером Шоттки (БШ) следует, что зависимость N_s от ΔE_σ имеет немонотонный характер: минимум N_s находится при значении $\Delta E_\sigma = 0.65$ –0.70 эВ. В то же время из анализа данных работы [8] установлено, что наиболее оптимальными для ФЭП являются слои с величиной $\Delta E_\sigma = 0.86$ –0.88 эВ.

В данной работе исследовалось влияние изменения параметров собственного слоя (N_s), удельных сдвигов электронов и дырок ($\mu\tau_n$, $(\mu\tau)_p$, ΔE_σ , σ_ϕ/σ_t , а также влияние примесей (бора, фосфора, углерода, кислорода) на параметры ФЭП. Легирование собственного слоя производилось из газовой фазы путем добавления в силаносодержащую газовую смесь диборана (B_2H_6), фосфина

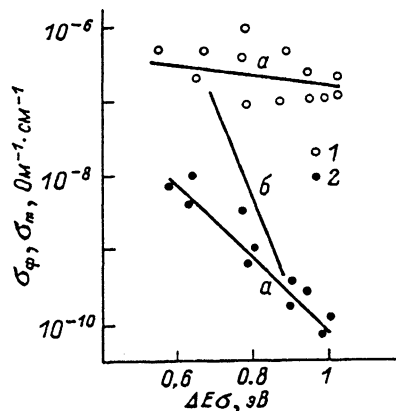


Рис.1. Зависимости фото- и темновой проводимости σ_ϕ (1), σ_t (2) при варьировании ΔE_σ пленок a -Si:H, полученных в диодной и тетродной системах.
 а — для пленок a -Si:H, полученных в диодной системе; б — для пленок a -Si:H, полученных в тетродной системе.

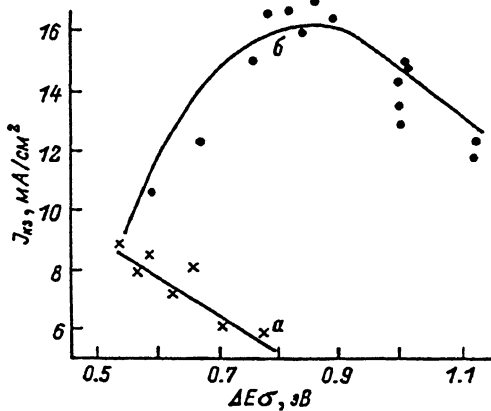


Рис.2. Изменение J_{kz} ФЭП при изменении ΔE_σ пленок a -Si:H.
 а — для ФЭП, полученных в диодной системе;
 б — для ФЭП, полученных в тетродной системе.

(PH_3), воды (H_2O), метана (CH_4). Были исследованы ФЭП с $p-i-n$, $n-i-p$ -структурой, а также ФЭП с барьером Шоттки (БШ) ($n-i-\tilde{\text{Pt}}$, $p-i-\tilde{\text{Yb}}$).

Параметры n - и p -легированных слоев ФЭП следующие: $\Delta E_\sigma = 0.35-0.3$ эВ, $\sigma_t = 5 \cdot 10^{-5} \text{ Ом}^{-1} \cdot \text{см}^{-1}$. Параметры собственного слоя варьировались в следующих пределах: ΔE_σ от 0.6 до 1 эВ, $(\mu\tau)_n$ от $1 \cdot 10^{-7}$ до $1 \cdot 10^{-9} \text{ см}^2/\text{В}$, $(\mu\tau)_p$ от $5 \cdot 10^9$ до $1 \cdot 10^{-10} \text{ см}^2/\text{В}$, σ_t от 10^{-11} до $5 \cdot 10^{-9} \text{ Ом}^{-1} \cdot \text{см}^{-1}$, σ_ϕ от 10^{-8} до $10^{-5} \text{ Ом}^{-1} \cdot \text{см}^{-1}$ (при освещении потоком $\Phi = 10^{15}$ фотон/ $\text{см}^2 \cdot \text{с}$, $\lambda = 0.65$ мкм). Это достигалось путем варьирования импеданса промежуточного электрода [9] без обычно применяемого подлегирования бором.

Ранее было показано [10, 11], что использование тетродной системы для получения пленок a -Si:H обеспечивает гомогенную микроструктуру собственных и легированных слоев, а также границ раздела между ними вследствие отсутствия бомбардировки поверхности растущей пленки ионами и "высокоэнергетичными" электронами из плазменного промежутка. Это основное отличие пленок a -Si:H, полученных в тетродной системе, от пленок a -Si:H, полученных в диодной структуре.

На рис. 1 приведены зависимости σ_ϕ , σ_t от ΔE_σ . Данные по диодной системе взяты из работы [12], в которой изменение ΔE_σ производилось в результате варьирования технологических параметров нанесения — температуры подложки — T_s , скорости осаждения — S , напряжения на ВЧ электроде, а также подлегирования бором. Здесь также приведены данные по тетродной структуре ($T_s = 320^\circ$).

На рис. 2 представлены зависимости J_{kz} от ΔE_σ для ФЭП, полученных в диодной и тетродной системах. Видно, что увеличение ΔE_σ для пленок, полученных в диодной системе, приводит к уменьшению J_{kz} . В отличие от этого для пленок, полученных в тетродной системе, изменение J_{kz} при варьировании ΔE_σ имеет немонотонный характер, J_{kz} имеет максимум при значении $\Delta E_\sigma = 0.85-0.88$ эВ. Величина U_{xx} при увеличении ΔE_σ в обоих случаях меняется одинаково.

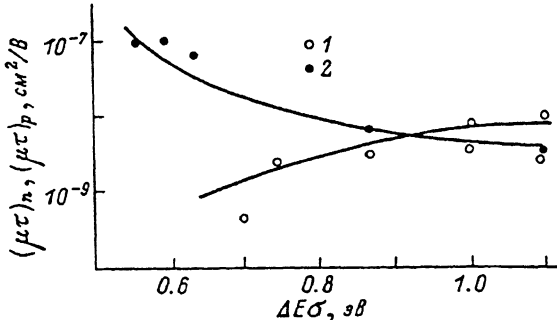


Рис.3. Зависимости изменения удельных сдвигов электронов и дырок при варьировании ΔE_σ .
1 — для электронов, 2 — для дырок.

На рис. 3 приведены изменения удельных сдвигов электронов и дырок $(\mu\tau)_n$, $(\mu\tau)_p$ при варьировании ΔE_σ пленок, полученных в тетродной системе. Увеличение ΔE_σ до 0.87 эВ приводит к уменьшению $(\mu\tau)_n$ примерно на один порядок, при этом величина $(\mu\tau)_p$ возрастает на порядок. Удельные сдвиги определялись по времяз-пролетной методике с учетом распределения встроенного поля по толщине образца. Кроме того, использовалась методика исследования световых ВАХ при обратном смещении для определения $(\mu\tau)_p$. Величины удельных сдвигов, определенные двумя независимыми способами, удовлетворительно совпадают: по-видимому, учет распределения встроенного поля не оказывает большого влияния. Это является следствием малых значений $N_s \sim 3-7 \cdot 10^{15} \text{ эВ} \cdot \text{см}^3$. Увеличение ΔE_σ до 0.88 эВ приводит к увеличению J_{k3} вследствие увеличения $(\mu\tau)_p$, а уменьшение J_{k3} при увеличении ΔE_σ до 1.0—1.1 эВ, вероятно, происходит вследствие уменьшения $(\mu\tau)_n$. Собственные слои с величиной $\Delta E_\sigma = 0.85-0.88$ эВ вследствие равенства величин удельных сдвигов электронов и дырок дают возможность получения максимальной величины J_{k3} в ФЭП.

На рис. 4 представлены нагрузочные характеристики структур с БШ $p-i$ -Yb, $n-i$ -Pt. Данные структуры сформированы на слоях с $\Delta E_\sigma = 0.86$ эВ, $\sigma_\Phi/\sigma_\tau = 5 \cdot 10^5$ при освещении АМ-1, $(\mu\tau)_n = (\mu\tau)_p = 4 \cdot 10^{-9} \text{ см}^2/\text{В}$, при толщинах слоя 0.1, 0.2, 0.28 мкм. Величина J_{k3} определялась без поправки на прозрачность верхнего электрода, которая в случае Pt была не выше 60—50%, а в случае Yb была ниже. Видно, что увеличение толщины слоя собственной проводимости приводит к увеличению J_{k3} , U_{xx} .

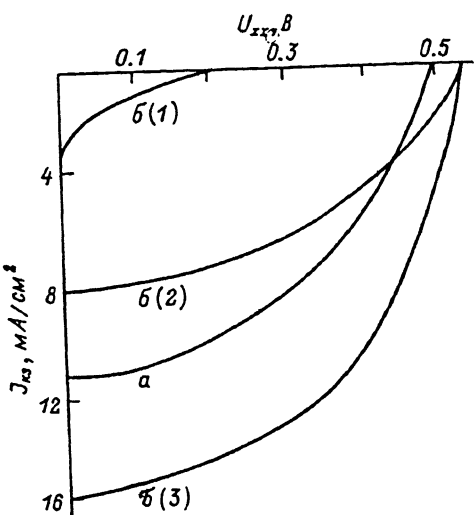


Рис. 4. Нагрузочные характеристики ФЭП с БШ на основе a -Si:H.

a — $p-i$ -Yb, b — $n-i$ -Pt (d , мкм: 1 — 0.1, 2 — 0.2, 3 — 0.28).

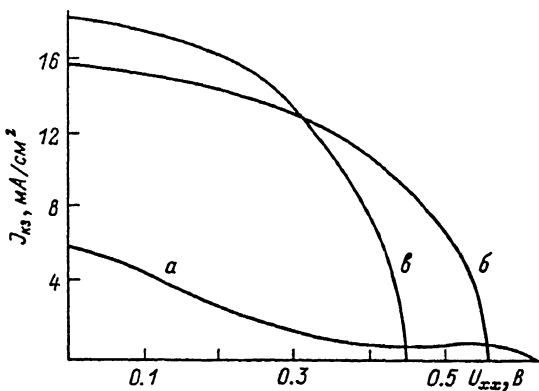


Рис.5. Влияние подлегированния фосфором, бором, углеродом на параметры ФЭП.
а - Р, б - В, в - С.

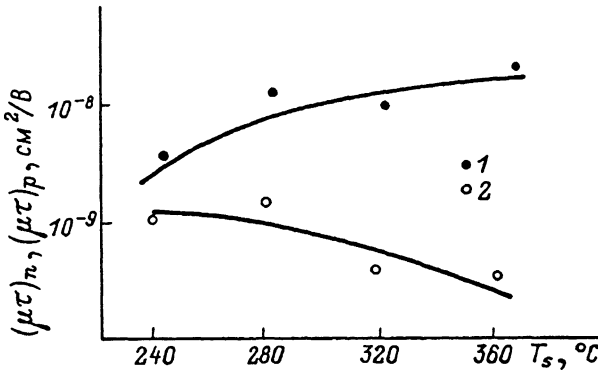


Рис.6. Влияние температуры подложки на изменение удельного сдвига электронов и дырок при легировании кислородом.

1 — для электронов, 2 — для дырок.

J_{k3} и FF уменьшаются. Это можно объяснить тем, что вследствие уменьшения $(\mu\tau)_p$ дырки располагаются вблизи тыльного контакта, а электроны, имея большую величину $(\mu\tau)_n$, отходят к наружному контакту. Таким образом, данная структура ведет себя как диполь при освещении. По данным времяз-пролетной методики для данной структуры $(\mu\tau)_n = 1 \cdot 10^{-7} \text{ см}^2/\text{В}$, в то время как $(\mu\tau)_p = 10^{-10} \text{ см}^2/\text{В}$. Введение бора (кривая б) приводит лишь к увеличению U_{xx} , FF практически не меняется. Углерод в слое $a\text{-Si:H}$ приводит к увеличению J_{k3} ; FF U_{xx} уменьшаются. При введении кислорода температура подложки играет существенную роль: уменьшение T_s до 220°C влияние кислорода несущественно, J_{k3} увеличивается. Увеличение температуры подложки приводит к увеличению $(\mu\tau)_n$, $(\mu\tau)_p$ при этом падает. Данные по влиянию кислорода на величины $(\mu\tau)_n$, $(\mu\tau)_p$ приведены на рис. 6.

Таким образом, при использовании однокамерной системы для нанесения пленок $a\text{-Si:H}$ и формировании на их основе ФЭП наиболее опасными примесями являются кислород и фосфор, загрязнение бором (не более 100 ppm) не приводит

к существенным изменениям параметров ФЭП. Введение углерода не уменьшает эффективность ФЭП при той же концентрации.

Выводы

1. Величина тока короткого замыкания в ФЭП на основе пленок $a\text{-Si:H}$, полученных в тетродной системе, немонотонно меняется при варьировании энергии активации электропроводности слоя собственной проводимости. Максимальная величина тока короткого замыкания при $\Delta E_\sigma = 0.85\text{--}0.88$ эВ. Величина U_{xx} увеличивается при увеличении ΔE_σ .

2. Величина удельного сдвига дырок ($\mu\tau$)_p увеличивается, а электронов ($\mu\tau$)_n уменьшается при увеличении энергии активации электропроводности слоя собственной проводимости.

3. Введение примесей (фосфора, кислорода, бора, углерода) приводит к изменению параметров ФЭП: фосфор и кислород уменьшают J_{k3} , введение бора увеличивает U_{xx} , введение углерода увеличивает J_{k3} .

4. Использование тетродной системы нанесения пленок $a\text{-Si:H}$ позволяет формировать на их основе ФЭП.

Список литературы

- [1] Carlson D. E. // JEEE Trans. Electron Dev. 1989. Vol. 36. N 12. P. 2775—2779.
- [2] Matsuda A., Kunagai K., Tanaka M. // Jap. J. Appl. Phys. 1983. Vol. 22. N 1. P. 34—36.
- [3] Harukai H., Sakai N., Kanyano M., Uchida Y. // Sol. Energy Materials, 1983. Vol. 10. N 4. P. 441—455.
- [4] Faughan B. W., Hanak J. J. // J. Non-Cryst. Sol. 1983. Vol. 59—60. P. 1127—1130.
- [5] Hack M., Shur M., Crubatai N., Yang Y. // J. Non-Cryst. Sol. 1983. Vol. 59—60. P. 1115—1118.
- [6] Мездрогина М. М., Голикова О. А., Кудоярова В. Х. и др. // Тр. VII Всесоюз. конф. по синтезу полупроводниковых кристаллов и пленок. Новосибирск, 1986. Т. II. С. 56—58.
- [7] Голикова О. А., Мездрогина М. М., Кудоярова В. Х. // ФТП. 1987. Т. 21. Вып. 8. С. 1464—1466.
- [8] Minotaga B., Tsuji K., Hirage T., Fukai F. // J. Non-Cryst. Sol. 1983. Vol. 59—60. P. 1118—1123.
- [9] Голикова О. А., Мездрогина М. М., Петров И. Н., Казанин М. М. // Тр. Всесоюз. конф. по твердотельной электронике. Л., 1989. Т. А. С. 257.
- [10] Tanaka M., Nakamura N., Tsuda S. et al. // Jap. J. Appl. Phys. 1988. Vol. 27. N 1. P. 14—19.
- [11] Мездрогина М. М., Голикова О. А., Казанин М. М. и др. // Тр. Междунар. конф. "Некристаллические полупроводники-89". Ужгород, 1989. С. 86—88.
- [12] Vanier R., Delahoy, Griffith R.-W. // J. Appl. Phys. 1981. Vol. 52. N 8. P. 5235—5242.

Физико-технический институт
им. А. Ф. Иоффе РАН
С.-Петербург

Поступило в Редакцию
2 октября 1990 г.
В окончательной редакции
19 февраля 1991 г.